

The Effect of Weave Structure and Wadded Weft Yarn Fineness on the Physical Properties of Three-Layer Woven Fabrics

Yasaman Ekbia, Nazanin Ezazshahabi*, and Houshang Nosratty

Department of Textile Engineering, Amirkabir University of Technology, P.O. Box 15875-4413, Tehran, Iran

Received: 14 August 2021, Accepted: 14 December 2021

Abstract

Three-layer woven fabrics with two warp and three weft systems are considered as thick fabrics, in which the third wadded weft yarn group is used to increase the thickness, to color separate two layers, and to stitch the top and bottom layers. The purpose of this study was to investigate the effect of changing the weave pattern and the count of wadded weft yarn in the fabric structure on the physical properties of the fabric including air permeability, thickness and compression energy, thermal resistance and water vapor permeability. In this research, weft wadded yarns with the fineness of 24/2, 36/2, and 48/2 Nm and weave structures of “plain-plain”, “twill 2/2- twill 2/2” and “twill 2/2- plain”, in the top and bottom layers, were used for fabric production. After the production of fabrics, experiments were performed to investigate the effect of the wadded yarn fineness and the weave structure on the physical properties of the fabrics. Analysis of the results showed that in comparison of various weave structures, the “plain-plain” had the highest air permeability and water vapor permeability and the least thickness and heat resistance. “Twill-twill” showed the maximum thickness and heat resistance and the lowest amount of air permeability and water vapor permeability. In view of the effect of wadded yarn count, it was found that the 24/2 Nm yarn had the highest air and water vapor permeability, and the lowest thickness and thermal resistance. The 48/2 Nm yarn had the maximum thickness and thermal resistance and at the same time exhibited the minimum air and water vapor permeability.

Keywords: three-layer woven fabric, wadded weft count, weave structure, physical properties

(*) To whom correspondence should be addressed.
E-mail: ezazshahabi@aut.ac.ir

اثر طرح بافت و ظرافت نخ پود پرکننده بر خواص فیزیکی پارچه‌های سه‌لایه تاری‌پودی

یاسمن اکبیا، نازین اعزاز‌شهابی*

تهران، دانشگاه صنعتی امیرکبیر، دانشکده مهندسی نساجی، صندوق پستی ۱۵۸۷۵-۴۴۱۳

دریافت: ۱۴۰۰/۹/۲۳، پذیرش: ۱۴۰۰/۵/۲۳

چکیده

بافت سرژه-تافته ترکیبی از دو بافت یادشده است، بدین دلیل، خواص آن نیز بین این دو بافت قرار می‌گیرد. همچنین، در مقایسه نمره نخ‌های متفاوت برای نخ پود پرکننده، نمره نخ $24/2$ Nm دارای بیشترین مقدار نفوذپذیری هوا و بخار آب و کمترین مقدار ضخامت و مقاومت گرمایی است. نمره نخ $48/2$ Nm دارای بیشترین مقدار ضخامت و مقاومت گرمایی و کمترین مقدار نفوذپذیری هوا و بخار آب است.

واژه‌های کلیدی: پارچه‌های سه‌لایه تاری‌پودی، نمره نخ پود پرکننده، طرح بافت، خواص فیزیکی

۱ مقدمه

به‌منظور تولید پارچه‌های ضخیم با رنگ‌ها و طرح‌های متفاوت در سمت رو و پشت پارچه و ایجاد پارچه‌های دوره و دولایه، در صورتی که نخ‌های تار و پود لایه‌های رو و زیر به اندازه مدنظر ضخیم نبوده یا اختلاف رنگ شدیدی با هم داشته باشند، می‌توان از پارچه‌های سه‌لایه با دو سامانه تاری و سه سامانه پودی استفاده کرد. در این نوع پارچه‌ها، دسته سوم پود به‌منظور افزایش ضخامت، تعکیک رنگی دولایه یا اتصال دولایه رو و زیر استفاده می‌شود. در

پارچه‌های تاری‌پودی سه‌لایه بافته شده با دو سامانه تاری و سه سامانه پودی، جزء پارچه‌های ضخیم محسوب می‌شوند. در این پارچه‌ها از یک دسته پود سوم به عنوان نخ پود پرکننده برای افزایش ضخامت، تعکیک رنگی دولایه رو و زیر یا اتصال دولایه رو و زیر استفاده می‌شود. هدف از انجام این مطالعه، بررسی نحوه اثرگذاری تغییر طرح بافت و نمره نخ پود پرکننده بر ساختار و خواص فیزیکی پارچه شامل نفوذپذیری هوا، ضخامت و انرژی فشرده‌گی، مقاومت گرمایی و نفوذپذیری بخار آب است. در این پژوهش، برای تولید این پارچه‌ها از نخ پود پرکننده با ظرافت‌های متفاوت شامل نخ‌های $24/2$ ، $36/2$ و $48/2$ Nm و طرح بافت‌های تافته-تافته، سرژه $2/2$ - $2/2$ و سرژه $2/2$ - $2/2$ -تافته به ترتیب در لایه‌های رو و زیر استفاده شده است. پس از تولید پارچه‌ها، آزمایش‌هایی در راستای بررسی اثر ظرافت نخ پود پرکننده و طرح بافت بر خواص فیزیکی پارچه‌ها انجام شده است. نتایج آزمایش‌ها و تجزیه و تحلیل‌ها نشان داد، در مقایسه طرح بافت‌های مختلف، طرح بافت تافته-تافته دارای بیشترین مقدار نفوذپذیری هوا و بخار آب و کمترین مقدار ضخامت و مقاومت گرمایی است. طرح بافت سرژه-سرژه دارای بیشترین مقدار ضخامت و مقاومت گرمایی و کمترین مقدار نفوذپذیری هوا و بخار آب است. طرح

* مسئول مکاتبات، پیام‌نگار: ezazshahabi@aut.ac.ir

به کاررفته در لایه‌های مختلف دارد. Yu و همکاران [۷]، رفتار کششی پارچه‌های چندلایه تاری پودی را بررسی کردند. نتایج حاکی از آن بود، پارچه‌های با تعداد لایه‌های بیشتر دارای مدول کششی بیشتری هستند.

بسیاری از پژوهشگران بر ویژگی‌های انتقال گرما در پارچه‌های چندلایه با تغییر پارامترهای پارچه یا تحت شرایط مختلف آزمایش، متتمرکز شده‌اند. Das و همکاران [۸] در یکی از این پژوهش‌ها نشان دادند، مقاومت گرمایی پارچه‌های چندلایه با افزایش وزن واحد سطح، افزایش می‌یابد. Babus و همکاران [۹] دریافتند، خاصیت گرمایی‌قی با از دیاد تعداد لایه‌ها افزایش می‌یابد که علت آن افزایش هوای محبوس میان لایه‌هاست. همچنین، با افزایش سرعت وزش باد، در مجموع خاصیت گرمایی منسوجات تک‌لایه، دولایه و سه‌لایه کاهش می‌یابد.

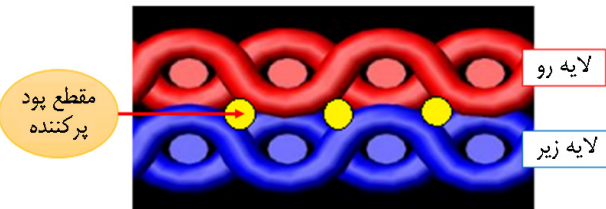
نتایج به دست‌آمده از پژوهش Shabaridharan و Das [۱۰] درباره مقاومت گرمایی پارچه‌های چندلایه حاکی از آن است، وزن واحد سطح لایه زیر اثرهای درخور توجهی بر مقاومت گرمایی و تبخیری پارچه ندارد. در حالی که وزن واحد سطح لایه میانی و همچنین اندازه منافذ لایه خارجی، اثر شایان ملاحظه‌ای بر مقاومت گرمایی و تبخیری سازه‌های چندلایه دارند. Wilk و همکاران [۱۱]، پژوهشی به منظور مقایسه مقاومت گرمایی سه پارچه با ساختارهای متفاوت شامل تک‌لایه، دولایه و سه‌لایه با وزن واحد سطح برابر، انجام دادند. بدین منظور، مقدار توزیع دما در سطح سه ساختار را به وسیله دوربین گرمایی بررسی کردند. نتایج نشان داد، پارچه دارای ساختار سه‌لایه، دولایه و تک‌لایه به ترتیب دارای بیشترین مقدار مقاومت گرمایی هستند.

Yoneda و همکاران [۱۲] درباره نفوذپذیری بخار آب در پارچه‌های چندلایه دریافتند، حداقل مقدار نفوذپذیری بخار آب متناسب با تعداد لایه‌ها کاهش می‌یابد. Huang و همکاران [۱۳]، به بررسی انتقال بخار آب از پارچه‌های چندلایه پرداختند. نتایج این بررسی نشان داد، چگالی خطی و جرم در واحد سطح زیاد و تعداد کم منافذ به ایجاد مقاومت زیادی در برابر عبور بخار آب از پارچه‌های چندلایه منجر می‌شود. Biggi و همکاران [۱۴]، اثر طرح بافت و ساختار پارچه‌های دولایه تاری پودی را بر مقدار نفوذپذیری بخار آب از پارچه بررسی کردند. طبق نتایج به دست‌آمده، در طرح بافت‌هایی که دارای نقاط اتصال کمتری هستند، طول نخ‌های شناور در ساختار آنها بیشتر بوده و همین موضوع سبب افزایش نفوذپذیری بخار آب و هوا به داخل ساختار پارچه می‌شود. یوسفی و همکاران [۱۵]، اثر قطر الیاف موجود در نخ‌های تشکیل‌دهنده

ارتباط با پارچه‌های چندلایه، کیفیت و نحوه قرارگیری لایه‌های مختلف، خواص فیزیکی آنها را تحت تأثیر قرار می‌دهد. در سال‌های گذشته، اندازه‌گیری و تجزیه و تحلیل خواص فیزیکی پارچه‌های با ساختار چندلایه مورد توجه بسیاری از پژوهشگران قرار گرفته است.

Sundaramoorthy و همکاران [۱] به بررسی ارتباط بین تعداد لایه‌های تشکیل‌دهنده پارچه و عامل پوششی با نفوذپذیری هوا پرداختند. نتایج حاکی از آن است که نفوذپذیری هوا، با افزایش تعداد لایه‌ها به طور توانی کاهش می‌یابد و مقدار آن به طور مستقیم با عامل پوششی پارچه متناسب است. Elnashar [۲]، اثر مقدار تخلخل موجود در بافت پارچه و عوامل اثرگذار بر آن را بر نفوذپذیری هوا پارچه، بررسی کرد. کاهش موج داری نخ‌های تار و پود لایه رو و زیر، کاهش ضخامت لایه‌ها و کاهش عامل (integration factor construction) یک‌پارچه‌سازی ساختاری سبب افزایش تخلخل در پارچه‌های دولایه و درنتیجه افزایش نفوذپذیری هوا می‌شود. در بررسی ارتباط تراکم پارچه دولایه و نفوذپذیری هوا، Unal و همکاران [۳] دریافتند، با افزایش تراکم اتصالات، پارچه بافت‌شده دولایه پرتر و حجمی‌تر شده که به نفوذپذیری کمتر هوا منجر می‌شود. در حالی که با کاهش تراکم اتصالات، پارچه دولایه، نازک‌تر می‌شود و تراکم آن کاهش می‌یابد که نتیجه آن نفوذپذیری بیشتر هواست. Rajan و Das [۴]، Rftar نفوذپذیری هوا در پارچه‌های سه‌بعدی اسپیسر را بررسی کردند. نتایج پژوهش بیانگر آن بود که مقدار تخلخل موجود در بافت پارچه، رابطه مستقیمی با مقدار نفوذپذیری هوا دارد. همچنین، افزایش ظرفات نخ‌های میانی که نقش اتصال دولایه بیرونی را دارند، سبب افزایش مقدار تخلخل و درنهایت افزایش نفوذپذیری هوا می‌شوند. Kumar [۵]، در پژوهشی درباره نفوذپذیری هوا از پارچه‌های دولایه حلقوی دریافت که طول حلقه‌های تشکیل‌دهنده پارچه اثر بسزایی بر خواص فیزیکی آن از جمله نفوذپذیری هوا دارد. به طوری که نفوذپذیری هوا در پارچه متشکل از حلقه‌های با طول کمتر، بیش از حلقه‌های با طول بیشتر است. زیرا در پارچه‌های دولایه، کاهش ضخامت پارچه سبب افزایش نفوذپذیری هوا می‌شود.

بررسی خواص مکانیکی پارچه‌های چندلایه از دیگر موضوعاتی است که پژوهشگران درباره آن پژوهش‌هایی انجام داده‌اند. Elnashar [۶] به بررسی اثر نوع بافت پارچه‌های دولایه ۱۰۰٪ پنبه‌ای بر استحکام تا پارگی پارچه‌ها پرداخت. وی دریافت، روند استحکام تا پارگی این پارچه‌ها ارتباط نزدیکی با نوع طرح بافت



شکل ۲- برش پودی پارچه‌های سه‌لایه برای نمایش موقعیت قرارگیری نخ پود پرکننده.

به همراه کارت ضربه و نخ‌کشی نشان داده شده‌اند. رنگ‌های قرمز، آبی و زرد به ترتیب نشانگر تار و پود لایه رو، تار و پود لایه زیر و پود پرکننده هستند. رنگ سبز نشانگر نقطه‌ای است که تار لایه زیر جهت اتصال دولایه رو و زیر روی پود لایه رو قرار می‌گیرد. خطوط مورب قرمز نشانگر قرارگیری تار لایه رو بر پود لایه زیر و پود پرکننده است.

برای نمایش بهتر چگونگی قرارگیری نخ پود پرکننده در ساختار پارچه‌های تولیدی، برش پودی آن در شکل ۲ نشان داده شده است. در این پژوهش، تمام نخ‌های استفاده شده در تولید پارچه‌های سه‌لایه از جنس آکریلیک هستند. از نخ با نمره $24/2$ به عنوان نخ تار و پود لایه رو و زیر و از نخ با نمره $24/2$ ، $24/2$ و $48/2$ به عنوان نخ پود پرکننده استفاده شده است. تمام پارچه‌های تولید شده با دستگاه نمونه‌بافی دستی $8 \times 70 \times 60 \text{ cm}^3$ ورد با ابعاد $80 \times 70 \times 60 \text{ cm}^3$ با تشکیل دهنده دستی بافته شده‌اند. تصویر این دستگاه در شکل ۳ قابل مشاهده است. همچنین، تراکم تاری در تمام پارچه‌ها ثابت و برابر $5/5 \text{ cm}^{-1}$ است.

به دلیل عدم امکان واپایش دقیق تراکم پودی روی دستگاه نمونه‌بافی دستی، کلیه پارچه‌ها با حداقل تراکم پودی ممکن بافته



شکل ۳- دستگاه نمونه‌بافی دستی.

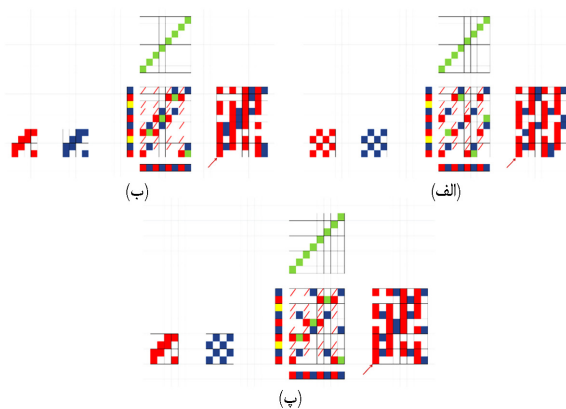
پارچه‌های دولایه را بر مقدار نفوذپذیری بخار آب پارچه بررسی کردند. نتایج حاکی از آن بودند که کاهش قطر الیاف، مقدار عبور بخار آب از پارچه را به مقدار درخور توجهی کاهش می‌دهد. با توجه به پژوهش‌ها و بررسی‌های انجام شده درباره خواص فیزیکی پارچه‌های ضخیم شامل نفوذپذیری هوا، ضخامت، خواص گرمایی، نفوذپذیری بخار آب و نوع اتصالات و نیز اثر عوامل مختلف بر این خواص به طور مجزا در مقالات، هدف از انجام این مطالعه تولید گروهی از پارچه‌های سه‌لایه تاری پودی و اندازه‌گیری و بررسی خواص فیزیکی آن‌ها از قبیل نفوذپذیری هوا و بخار آب، ضخامت و تراکم‌پذیری و غیره به طور جامع است. لازم به ذکر است، در این پارچه‌ها، طرح بافت لایه‌های رو و زیر و همچنین ظرافت نخ پود پرکننده متغیر بوده و درنهایت چگونگی تأثیرپذیری خواص پارچه از طرح بافت لایه‌های مختلف و همچنین ظرافت نخ پود پرکننده، تجزیه و تحلیل می‌شود.

۲ تجربی

۱-۱ روش‌ها

۱-۱-۱ مشخصات مواد

طرح بافت، نحوه قرارگیری نخ‌های تار و پود نسبت به یکدیگر است. طرح بافت‌های استفاده شده در این پژوهش، تافته و سرژه $2/2$ بوده که از قرارگیری هر یک از آن‌ها در لایه‌های رو و زیر، سه دسته پارچه شامل تافته-تافته، سرژه $2/2$ -سرژه $2/2$ و سرژه $2/2$ -تافته تولید شده است که به ترتیب در شکل‌های ۱الف تا پ



شکل ۱- طرح بافت‌های استفاده شده در بافت نمونه‌ها: (الف) تافته در لایه رو و زیر، (ب) سرژه در لایه رو و زیر و (پ) سرژه در لایه رو و تافته در لایه زیر.

جدول ۱- تراکم پودی پارچه‌ها.

کد نمونه	طرح بافت	ظرافت نخ پود پرکننده (Nm)	تراکم نخ پود پرکننده (cm⁻¹)	تراکم نخ پود پارچه زیر (cm⁻¹)	سدهای سلاید (cm⁻¹)	ضریب تغییرات (%)
F1	تافته- تافته	۲۴/۲	۳	۸	۸	۲/۳۹
F2	سرژه- سرژه	۲۴/۲	۵	۱۱	۱۱	۲/۸۵
F3	سرژه- تافته	۲۴/۲	۴	۱۰	۲۳	۵/۴۴
F4	تافته- تافته	۳۶/۲	۴/۵	۱۰	۲۴/۵	۲/۲۲
F5	سرژه- سرژه	۳۶/۲	۶	۱۲	۳۰	۳/۸۷
F6	سرژه- تافته	۳۶/۲	۵	۱۲/۵	۲۸/۵	۴/۵۰
F7	تافته- تافته	۴۸/۲	۵	۱۲	۲۹	۳/۳۰
F8	سرژه- سرژه	۴۸/۲	۷	۱۴/۵	۳۶	۳/۷۲
F9	سرژه- تافته	۴۸/۲	۷	۱۴/۵	۵/۳۴	۳/۹۲

ضخامت پارچه‌های تولیدی طبق استاندارد ASTM D 1777، از دستگاه ضخامت‌سنج Shirley استفاده شد. تصویر این دستگاه در شکل ۵ نشان داده شده است. مقدار ضخامت پارچه‌ها در فشارهای ۵۰، ۱۰۰، ۲۰۰، ۳۰۰ و ۵۰۰ g/cm² و تحت هر فشار، در پنج نقطه اندازه‌گیری و میانگین نتایج به دست آمده تجزیه و تحلیل شد. همچنین، انرژی فشردگی از معادله (۱) محاسبه شد:

$$wc = \int_{P_0}^{P_m} T(p) dp \quad (1)$$

که در آن، wc انرژی فشردگی بر حسب P_m فشار بیشینه



شکل ۵- دستگاه ضخامت‌سنج Shirley.

شدند. از آنجا که طرح بافت پارچه‌ها و نمره نخ پود پرکننده بر حداقل تعداد نخی که در پارچه می‌تواند قرار گیرد، اثرگذار بوده و تراکم پودی پارچه‌ها در حالت‌های مختلف اندازه‌گیری شده است. همان‌گونه که در جدول ۱ مشاهده می‌شود، تراکم پودی پارچه‌ها در بازه ۱۹-۳۶ cm⁻¹ قرار دارد.

۲-۱-۲- آزمون‌های انجام‌شده روی پارچه‌ها

آزمون‌های انجام‌شده، تجهیزات استفاده‌شده و روش انجام کار برای اندازه‌گیری خواص فیزیکی پارچه‌های تولیدی به شرح زیر هستند:
- آزمایش نفوذپذیری هوا با دستگاه سنجش نفوذ هوا مدل MO215 ساخت شرکت Shirley طبق استاندارد BS 5636 انجام شد. تصویر این دستگاه در شکل ۴ نشان داده شده است. در فشارهای ۲۵ و ۵۰ Pa تحت هر فشار، مقدار نفوذپذیری هوا از نمونه‌ها در پنج نقطه اندازه‌گیری و میانگین مقادیر به دست آمده گزارش شد.

- ضخامت پارچه، فاصله میان دو سطح صاف است که پارچه تحت فشار معین بین آن دو سطح قرار می‌گیرد. برای تعیین



شکل ۴- دستگاه اندازه‌گیری نفوذپذیری هوا.



شکل ۸- اندازه‌گیری نفوذپذیری بخار آب به روش فنجانی.

که در آن، R_{air} و R_{sample} به ترتیب مقاومت‌های گرمایی هوا، نمونه آزمون شده و نمونه استاندارد بر حسب $m^2 \cdot ^\circ C/W$ و T_1, T_2, T_3 به ترتیب دمای گرمکن، دمای بین نمونه‌های استاندارد و تحت آزمون و دمای بین نمونه‌های تحت آزمون و صفحه بالایی بر حسب $^\circ C$ است.

- نفوذپذیری بخار آب (WVP) عبارت از سرعت انتقال بخار آب از واحد سطح مواد مسطح با ضخامت یکسان در اثر اختلاف فشار بخار میان دو طرف سطح بررسی شده است که تحت دما و رطوبت مشخص ایجاد می‌شود. نفوذپذیری بخار آب از معادله‌های (۴) و (۵) محاسبه می‌شود:

$$WVP = \frac{24M}{At} \quad (4)$$

$$A = \frac{\pi d^2 \times 10^{-6}}{4} \quad (5)$$

که در آن، M کاهش وزن آب (جرم آب بخارشده از فنجان) بر حسب g ، t فاصله‌های زمانی اندازه‌گیری‌ها بر حسب $A \cdot h$ مساحت داخلی ظرف بر حسب m^2 قطر داخلی ظرف بر حسب d و WVP نفوذپذیری بخار آب بر حسب $g/m^2 \cdot day$ است. در این پژوهش، طبق استاندارد BS 7209 با استفاده از روش فنجانی نشان داده شده در شکل ۸ به ازای هر گروه از پارچه‌های تولیدی، سه بار آزمون تکرار و میانگین مقادیر به دست آمده گزارش شده است.

۳ نتایج و بحث

در این بخش، نتایج به دست آمده از آزمون‌های متفاوت که روی پارچه‌های تولیدی در این پژوهش به منظور بررسی خواص فیزیکی



شکل ۶- دستگاه تاگ‌متر.

بر حسب $P_0 g/cm^2$ فشار اولیه بر حسب $T(p) g/cm^2$ و (T) معرف تابع تغییرات ضخامت بر حسب فشار است.

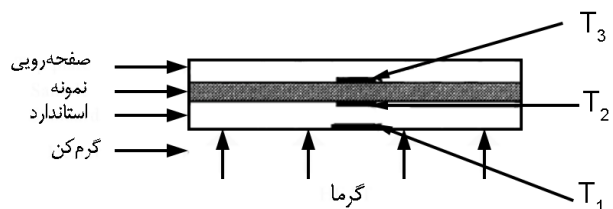
- مقدار خاصیت گرماییکی یک منسوج، با اندازه‌گیری مقاومت آن در برابر رسانش گرما تعیین می‌شود. مقدار خاصیت گرماییکی منسوج عبارت از نسبت اختلاف دما میان دو سمت منسوج به سرعت جریان گرما در واحد سطح آن است. از روش‌های تعیین این خاصیت، استفاده از دستگاه تاگ‌متر بوده که تصویر این دستگاه در شکل ۶ دیده می‌شود.

برای اندازه‌گیری خاصیت گرماییکی پارچه‌های تولیدی طبق استاندارد BS 4745 از دستگاه تاگ‌متر به روش دوصفحه‌ای استفاده شده است. با توجه به شکل ۷، نمونه تحت آزمایش بین صفحه گرم زیری و صفحه عایق‌بندی شده بالایی قرار می‌گیرد.

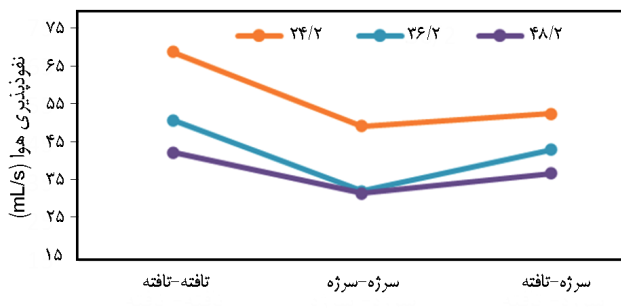
مقدار مقاومت گرمایی هوا و نمونه آزمون شده به ترتیب با استفاده از معادلات (۲) و (۳) محاسبه می‌شود. در این پژوهش، به ازای هر نمونه، آزمون سه مرتبه تکرار شده و میانگین مقادیر به دست آمده گزارش شده است:

$$R_{air} = R_{stand} \times \frac{T_2 - T_3}{T_1 - T_2} \quad (2)$$

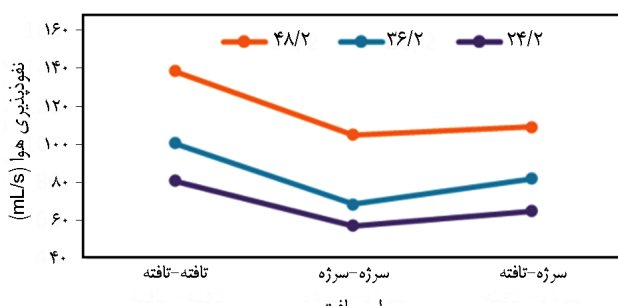
$$R_{sample} = R_{stand} \times \frac{T_2 - T_3}{T_1 - T_2} - R_{air} \quad (3)$$



شکل ۷- تاگ‌متر با روش دوصفحه‌ای.



(الف)

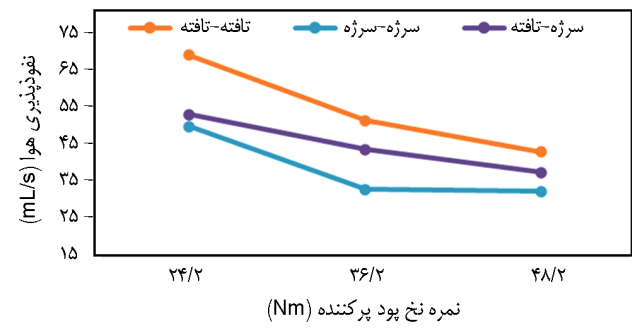


(ب)

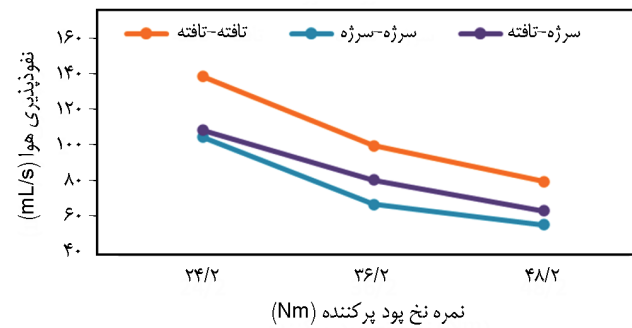
شکل ۱۱- نفوذپذیری هوا به ازای طرح بافت‌های مختلف تحت فشارهای: (الف) ۲۵ Pa و (ب) ۵۰ Pa.

عبوری از پارچه کاهش می‌یابد. همان‌طور که پیش‌تر گفته شد، با افزایش نمره متريک، ظرافت نخ بیشتر شده که در این صورت نخ پرکننده با نمره ۲۴/۲ دارای کمترین ظرافت و نخ پرکننده با نمره ۴۸/۲ دارای بیشترین ظرافت است. با توجه به رابطه موجود میان نمره نخ پرکننده و تراکم، در پارچه‌های با تراکم بیشتر بدلیل عدم وجود منافذ زیاد و کاهش تخلخل پارچه، امکان عبور هوا کمتر است. در مقابل در پارچه‌های با تراکم کمتر، به علت وجود منافذ افزون‌تر امکان عبور هوای بیشتر وجود دارد و به بیان دیگر نفوذپذیری هوا بیشتر است. رابطه میان نفوذپذیری هوا و تراکم تحت فشار ۵۰ Pa نیز در شکل ۱۰ قابل مشاهده است.

در ادامه با توجه به جدول ۲ و شکل ۱۱ ملاحظه می‌شود، بیشترین مقدار حجم هوای عبوری به ترتیب مربوط به پارچه‌های با طرح بافت تافته-تافته، سرژه-تافته و سرژه-سرژه است. پارچه با طرح بافت تافته-تافته بیشترین نفوذپذیری هوا را دارد که بدلیل نوع بافت نخها در آن است. کمبودن تراکم پودی پارچه در این طرح بافت و به دنبال آن افزایش خلل و فرج به عبور راحت‌تر هوا از پارچه منجر می‌شود. در صورتی که وجود فلوت‌های تاری و پودی بلند در بافت سرژه، امکان قرارگیری تعداد نخ بیشتری در واحد طول پارچه را فراهم می‌کند، درنتیجه در یک سطح مشخص،



(الف)



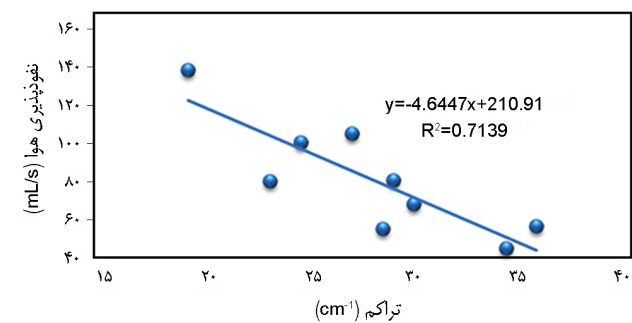
(ب)

شکل ۹- نفوذپذیری هوا بر حسب نمره نخ پود پرکننده تحت فشارهای: (الف) ۲۵ Pa و (ب) ۵۰ Pa.

آن‌ها انجام شده است، گزارش و تجزیه و تحلیل می‌شوند.

۱-۳ نفوذپذیری هوا

همان‌طور که قبلاً اشاره شد، نفوذپذیری هوا در پارچه‌های تولیدی در فشارهای ۲۵ و ۵۰ Pa ارزیابی شدند که نتایج آن‌ها در جدول ۲ مشاهده می‌شود. شکل‌های ۹ تا ۱۱ به ترتیب نشانگر رابطه میان نفوذپذیری هوا با نمره نخ پود پرکننده، تراکم و طرح بافت است. در بررسی ارتباط نفوذپذیری هوا و نمره نخ پود پرکننده و با توجه به جدول ۲ و شکل ۹ مشاهده می‌شود، در هر دو فشار ۲۵ و ۵۰ Pa با افزایش نمره متريک نخ پود پرکننده، مقدار حجم هوا



شکل ۱۰- ارتباط نفوذپذیری هوا و تراکم پودی.

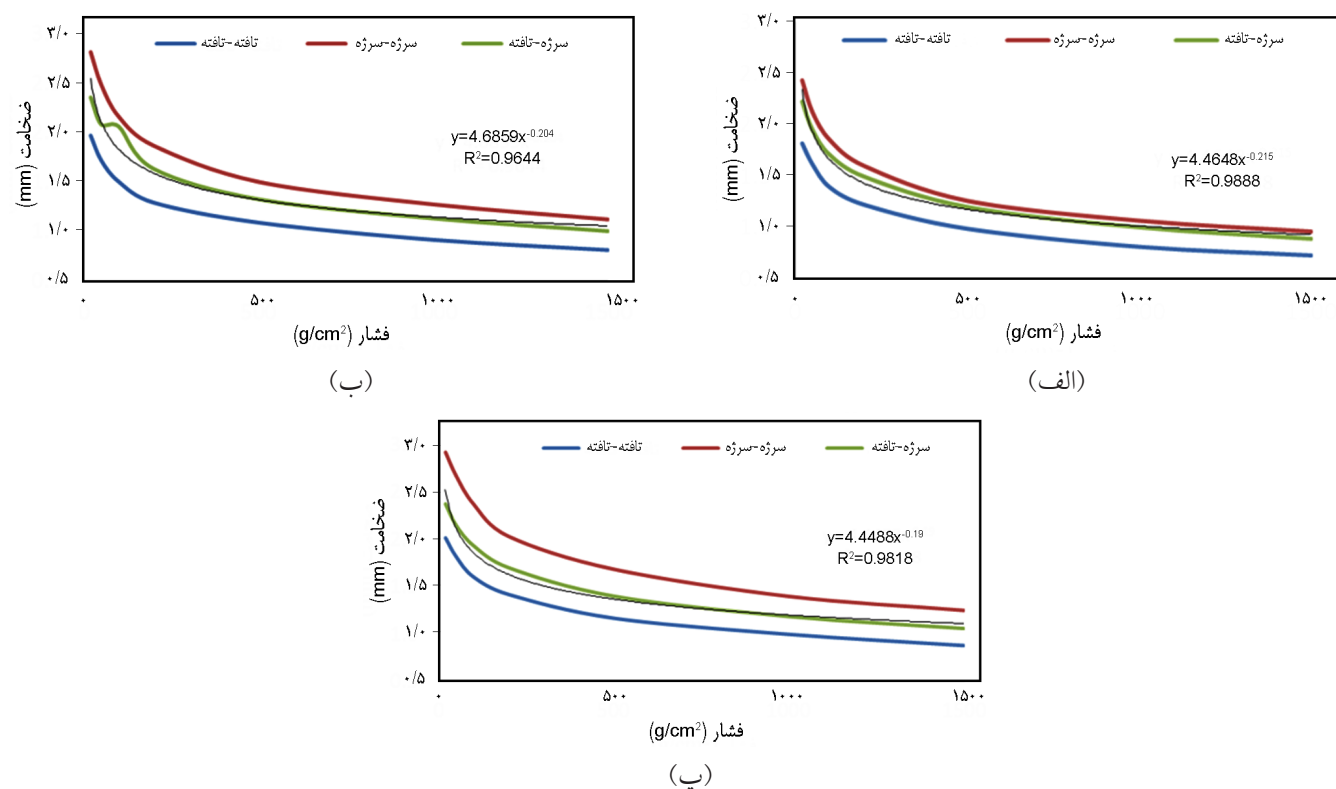
جدول ۲- نفوذپذیری هوا.

کد نمونه	طرح بافت	ظرافت نخ پود پرکننده (Nm)	حجم هوا عبوری تحت فشار ۵۰ Pa	حجم هوا عبوری تحت فشار ۲۵ Pa	ضریب تغییرات (%)	ضریب تغییرات (%)	میانگین (mL/s)	ضریب تغییرات (%)	میانگین (mL/s)
F1	تافته- تافته	۲۴/۲	۱۱/۱۷	۶/۰۶	۶۹	۱۳۸/۶	۷/۰۶	۶۰/۰۶	۱۱/۱۷
F2	سرژه- سرژه	۲۴/۲	۷/۰۳	۱۴/۳۰	۴۹/۸	۱۰/۵	۹/۴۰	۸/۴۴	۱۰/۹
F3	سرژه- تافته	۲۴/۲	۹/۴۰	۵۳	۴۹/۸	۱۴/۳۰	۱۰/۹۵	۱۱/۰۶	۱۰/۰۴
F4	تافته- تافته	۳۶/۲	۱۰/۹۵	۵۱/۴	۳۶/۲	۱۰/۰۴	۳/۰۰	۱۳/۵۵	۶۸/۲
F5	سرژه- سرژه	۳۶/۲	۳/۰۰	۳۳	۳۶/۲	۸/۶۹	۸/۶۹	۸/۰۴	۸/۱۶
F6	سرژه- تافته	۳۶/۲	۸/۶۹	۴۳	۴۸/۲	۸/۰۶	۹/۳۵	۶/۳۷	۸/۰۶
F7	تافته- تافته	۴۸/۲	۹/۳۵	۴۲	۴۸/۲	۵۶/۸	۷/۱۹	۱۰/۱۴	۵۶/۸
F8	سرژه- سرژه	۴۸/۲	۷/۱۹	۳۲/۴	۴۸/۲	۶۴/۴	۷/۰۶	۲/۶۷	۶۴/۴
F9	سرژه- تافته	۴۸/۲	۷/۰۶	۳۷/۵	۴۸/۲				

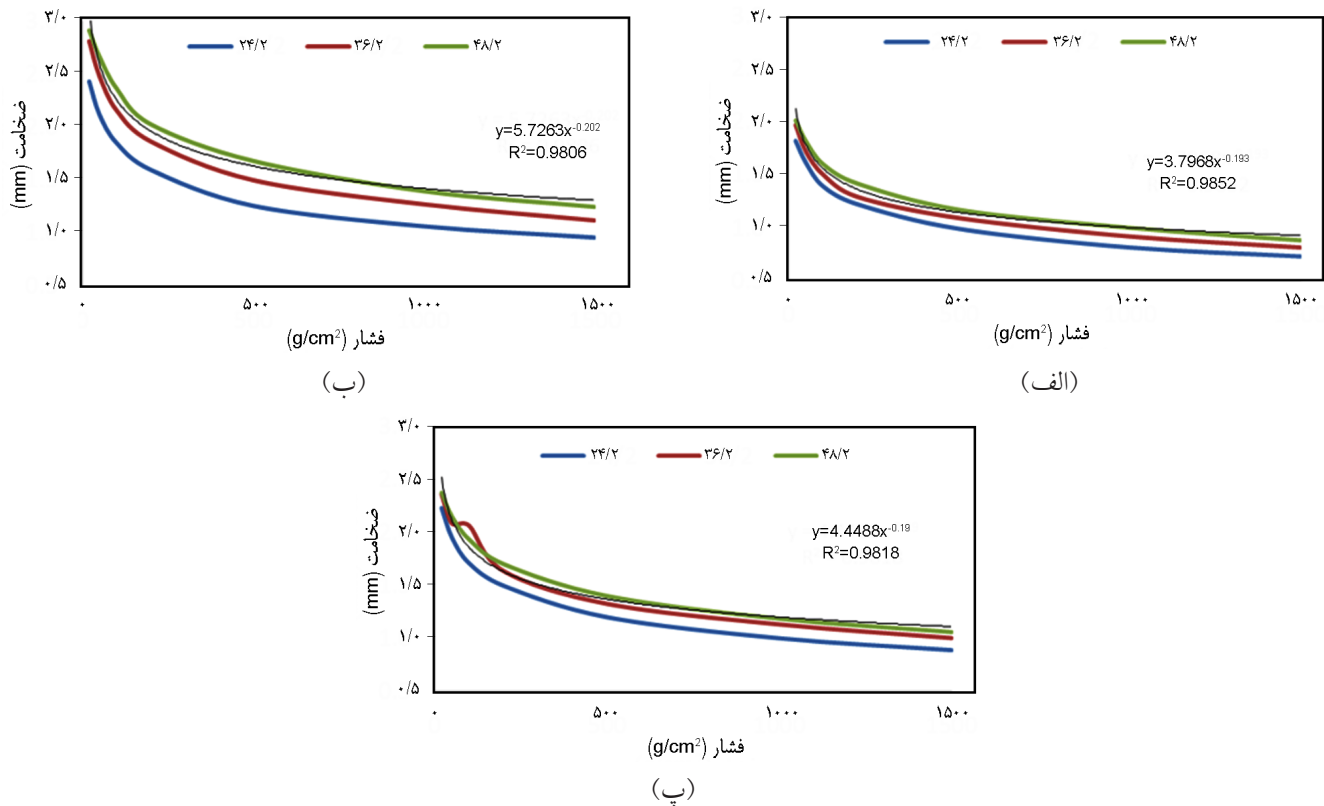
رو و زیر و همچنین ظرافت نخ پود پرکننده بر قابلیت نفوذ هوا معنادار است.

۲-۳ ضخامت و انرژی فشردگی

ضخامت نمونه های بافته شده در فشارهای 20 g/cm^2 تا 1500 g/cm^2 بین دو بافت قرار می گیرد. تحلیل آماری نتایج در سطح اطمینان ۹۵٪ با استفاده از آزمون ANOVA نشان داد، اثر طرح بافت دولایه



شکل ۱۲- اثر تغییر طرح بافت بر ضخامت نمونه با نخ پود پرکننده با نمره: (الف) ۲۴/۲، (ب) ۳۶/۲ و (پ) ۴۸/۲ متريک.



شکل ۱۳- اثر تغییر ظرافت نخ پود پرکننده بر ضخامت نمونه پارچه‌های با طرح بافت: (الف) تافته-تافته، (ب) سرژه-سرژه و (پ) سرژه-تافته.

با توجه به جدول ۳ و شکل ۱۲ مشاهده می‌شود، ضخامت بهترین در پارچه با طرح بافت‌های تافته-تافته، سرژه-تافته و سرژه-سرژه روند افزایشی دارد. دلیل آن به وجود فضاهای خالی بیشتر در بافت سرژه بازمی‌گردد که به پارچه حالت پفكی می‌دهد و درنهایت سبب افزایش ضخامت می‌شود. بافت تافته به دلیل وجود بافت‌رفتگی منسجم در ساختار پارچه، دارای ضخامت کمتری

جدول ۳- ضخامت و انرژی فشردگی.

انرژی فشردگی (g.cm⁻¹)	ضخامت تحت فشار ۵۰ g/cm² (mm)	کد نمونه
۱۴۰/۱۰	۱/۶۱	F1
۱۸۳/۰۹	۲/۱۲	F2
۱۷۱/۰۸	۱/۹۵	F3
۱۵۴/۲۶	۱/۷۲	F4
۲۱۵/۸۳	۲/۴۹	F5
۱۹۲/۲۲	۲/۰۸	F6
۱۶۶/۷۴	۱/۸۲	F7
۲۲۷/۸۳	۲/۶۷	F8
۱۹۶/۳۸	۲/۱۵	F9

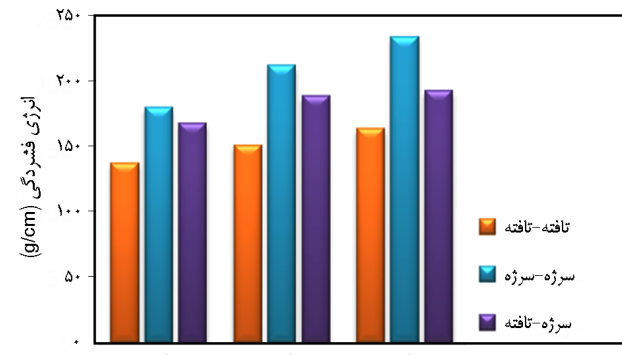
در فشار ۵۰ g/cm² در جدول ۳ آورده شده است. افزون بر این، در راستای مطالعه تراکم پذیری پارچه‌ها، انرژی فشردگی محاسبه شده و مقادیر آن به ازای گروه‌های نمونه‌های مختلف در جدول ۳ قابل مشاهده است. اثر ظرافت نخ پود پرکننده و طرح بافت بر ضخامت و انرژی فشردگی بهترین در شکل‌های ۱۲ تا ۱۴ نشان داده شده‌اند.

با توجه به شکل‌های ۱۲ و ۱۳ مشاهده می‌شود، با افزایش فشار، ضخامت نمونه‌ها کاهش می‌یابد. هر یک از نمودارهای ضخامت را با درنظر گرفتن روند فشرده شدن پارچه‌ها می‌توان به سه ناحیه تقسیم‌بندی کرد. همان‌گونه که دیده می‌شود، در ناحیه اول به ازای اعمال فشار کم تغییرات زیادی در ضخامت مشاهده می‌شود. درواقع با اعمال مقدار کمی فشار، ضخامت با شبیه تندی کاهش می‌یابد که به علت وجود الیاف سطحی و کرک‌ها روی سطح پارچه است. در ناحیه دوم نمودارها، پارچه دارای ساختار منسجم‌تری نسبت به ناحیه اول است که سبب کاهش ضخامت با شبیه ملایم‌تر می‌شود. چرا که در این مرحله، الیاف داخل نخها و همچنین نخ‌ها فشرده شده و فضای خالی بین آن‌ها درون ساختار پارچه پر می‌شود. در ناحیه سوم که به آن ناحیه غیرقابل فشردن گفته می‌شود، با افزایش فشار تغییر در خور توجیهی در ضخامت نمونه روی نمی‌دهد.

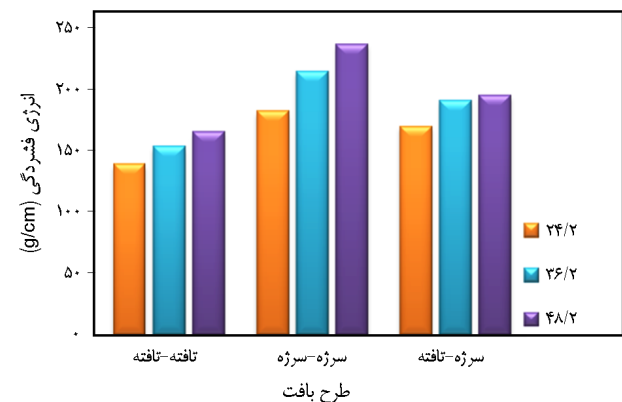
دو بافت قرار می‌گیرد. در شکل ۱۳ مشاهده می‌شود، با افزایش ظرافت نخ پود پرکننده ضخامت نمونه افزایش می‌یابد. همان‌طور که پیش تر اشاره شد، با افزایش ظرافت نخ پرکننده، بافت تراکم‌تر می‌شود و درنتیجه با افزایش تراکم ضخامت پارچه افزایش می‌یابد. نتایج مربوط به محاسبات انرژی فشردگی در شکل ۱۴ نشان داده شده است. با افزایش نمره نخ پود پرکننده، انرژی فشردگی افزایش می‌یابد. علت روند افزایشی این است که با افزایش نمره نخ، ظرافت آن افزایش می‌یابد و از آنجا که نیروی دفتین زنی در طول فرایند بافندگی ثابت است و پارچه‌ها با حداکثر تراکم پودی بافته شده‌اند، تراکم افزایش پیدا می‌کند. درنهایت با افزایش تراکم، مقدار انرژی مورد نیاز برای فشردگی افزایش می‌یابد. برای بررسی اثر طرح بافت بر انرژی فشردگی با توجه به شکل ۱۴ ب مشاهده می‌شود، بیشترین و کمترین مقدار انرژی فشردگی به ترتیب متعلق به طرح بافت سرژه-سرژه و تافته-تافته است. با توجه به مقادیر یادشده در جدول ۱، مجموع تراکم سه‌لایه در طرح بافت سرژه-سرژه، بهازای تمام ظرافتهای نخ پود پرکننده، بیش از مجموع تراکم سه‌لایه در طرح بافت تافته-تافته است. بدین دلیل در واحد طول بافت سرژه، تعداد نخ بیشتری وجود داشته و همچنین ضخامت بیشتری نسبت به طرح بافت تافته-تافته دارد، درنتیجه انرژی بیشتری برای فشردگی لازم است. یادآور می‌شود، تحلیل آماری نتایج در سطح اطمینان ۹۵٪ نیز گویای اثرگذاری معنادار ظرافت نخ پود پرکننده و طرح بافت بر ضخامت و تراکم پذیری پارچه‌های بررسی شده است.

۳-۳ خاصیت گرمایی

برای ارزیابی خاصیت گرمایی پارچه‌های بافته شده، مقاومت



(الف)



(ب)

شکل ۱۴- اثر: (الف) ظرافت نخ پود پرکننده و (ب) طرح بافت بر انرژی فشردگی.

است. از آنجا که بافت سرژه-تافته این پارچه ترکیب دو طرح بافت یادشده است، ضخامت آن نیز تحت فشارهای مختلف، بین این

جدول ۴- مقاومت گرمایی نمونه‌ها.

کد نمونه	طرح بافت	ظرافت نخ پود پرکننده (Nm)	مقاآمت گرمایی میانگین ($m^2 \cdot ^\circ C/W$)	ضریب تغییرات (%)	
				تافته-تافته	سرژه-سرژه
F1	تافته-تافته	24/2	0.055	0/055	27/5
F2	سرژه-سرژه	24/2	0.075	0/075	21/5
F3	سرژه-تافته	24/2	0.063	16/4	28/6
F4	تافته-تافته	36/2	0.063	28/6	14/7
F5	سرژه-سرژه	36/2	0.097	9/30	29/0
F6	سرژه-تافته	36/2	0.085	14/7	23/8
F7	تافته-تافته	48/2	0.076	29/0	19/7
F8	سرژه-سرژه	48/2	0.108	23/8	21/5
F9	سرژه-تافته	48/2	0.093	19/7	-

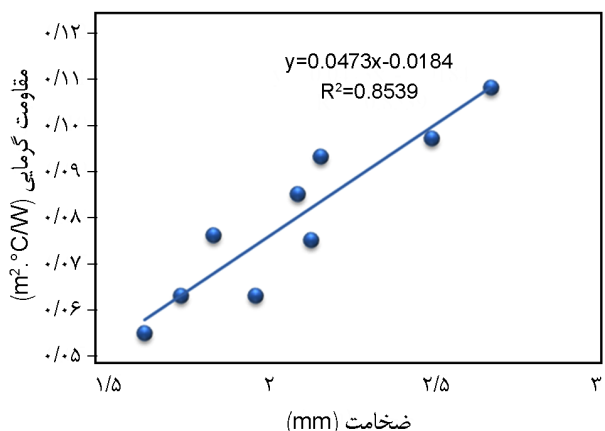
مقاومت گرمایی بیشتری دارد. افزون بر این، ساختار پفکی این طرح بافت باعث محبوس شدن حجم هوا بیشتری درون ساختار پارچه می شود. از آنجا که هوا به عنوان عایق گرمایی عمل می کند، این موضوع باعث افزایش مقدار مقاومت گرمایی می شود. در صورتی که طرح بافت تافته-تافته تراکم کمتری دارد و در ساختار این پارچه فضای خالی کمتری برای حبس هوا وجود دارد، درنتیجه این پارچه مقاومت گرمایی کمتری دارد. در حالی که بافت لایه رو تافته و بافت لایه زیر سرژه باشد، بهدلیل اثر ترکیبی این دو طرح بافت، خاصیت گرمایی این پارچه میان دو ساختار تافته-تافته و تافته-سرژه واقع می شود.

رابطه میان ضخامت و مقاومت گرمایی در شکل ۱۶ قابل مشاهده است. با توجه به معادله مقاومت گرمایی که به صورت $R=d/k$ است، این پارامتر به طور مستقیم با ضخامت (d) و به طور عکس با رسانیدگی گرمایی (K) در ارتباط است. با توجه به شکل ۱۶ مشاهده می شود، در نمونه های با ضخامت بیشتر، مقاومت گرمایی بیشتر است. مقدار مقاومت گرمایی پارچه ها با ضرب اندیاب خوبی (R²=0.8539) تحت تأثیر ضخامت پارچه قرار می گیرد.

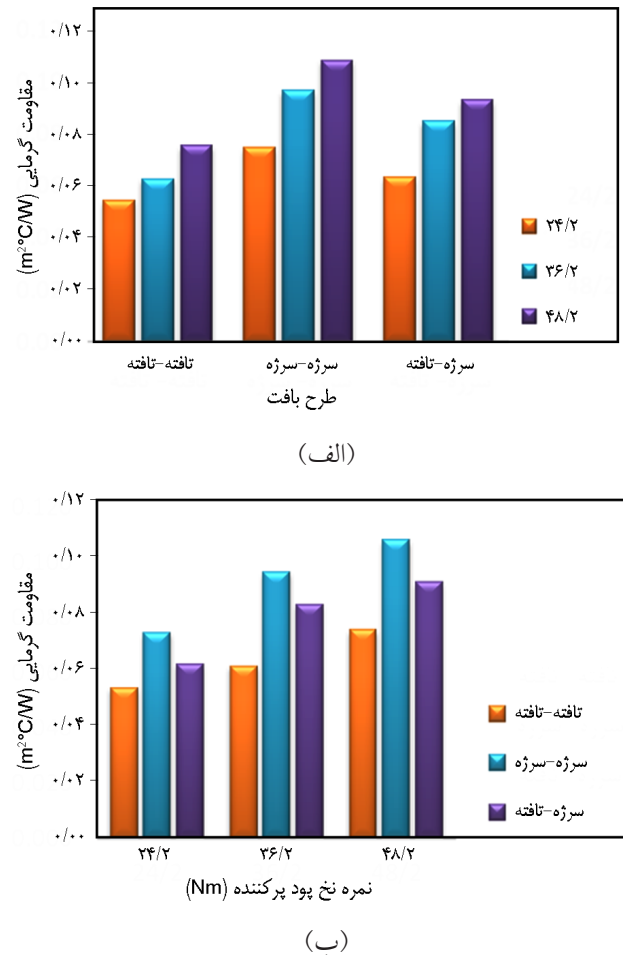
شکل ۱۷ نشانگر رابطه میان تراکم و ضخامت پارچه است. همان طور که مشاهده می شود، مقدار ضخامت پارچه ها تحت تأثیر تراکم پارچه ناشی از ظرافت نخ پود پرکننده قرار می گیرد و نمونه های با تراکم بیشتر، ضخامت بیشتری دارند. همچنین براساس نتایج آزمون های آماری ANOVA در سطح اطمینان ۹۵٪، مقدار مقاومت گرمایی پارچه های سه لایه تولیدی به طور معناداری تحت تأثیر ظرافت نخ پود پرکننده و طرح بافت قرار گرفته است.

۴-۳ نفوذپذیری بخار آب

به منظور اندازه گیری نفوذپذیری بخار آب، سه نمونه از هر بافت



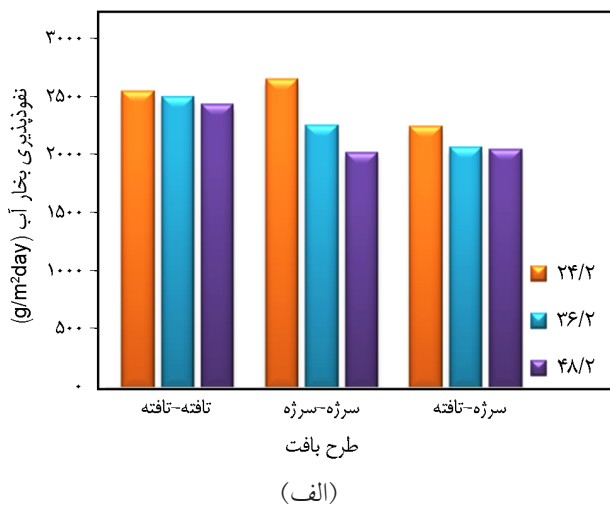
شکل ۱۶- رابطه میان ضخامت و مقاومت گرمایی.



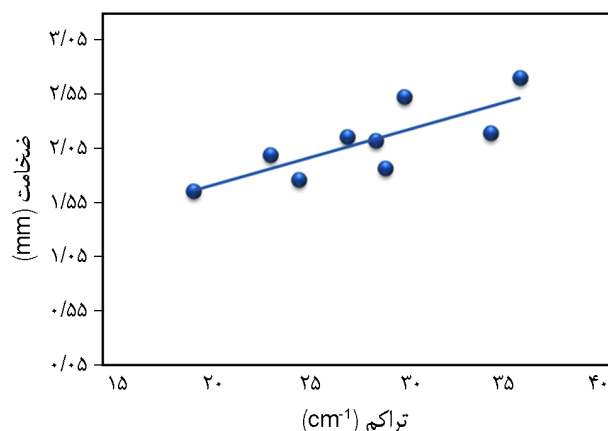
شکل ۱۵- اثر: (الف) ظرافت نخ پود پرکننده و (ب) طرح بافت بر مقاومت گرمایی.

گرمایی سه نمونه از هر بافت اندازه گیری شد. جدول ۴ میانگین مقادیر اندازه گیری شده مقاومت گرمایی نمونه ها را نشان می دهد. اثر ظرافت نخ پود پرکننده و طرح بافت بر مقدار مقاومت گرمایی نمونه ها در شکل ۱۵ نشان داده شده است.

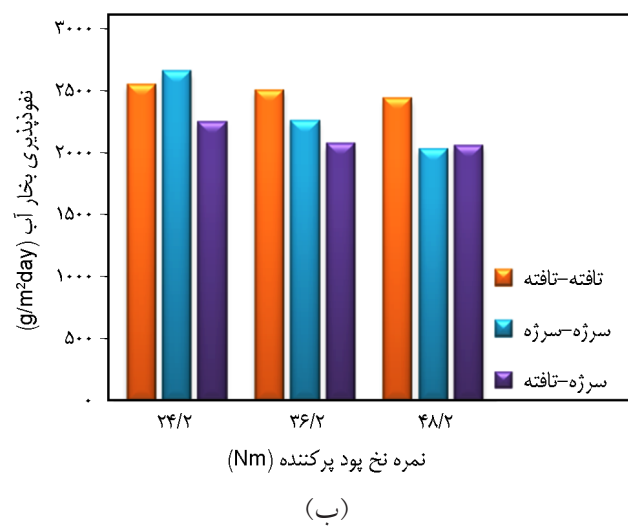
همان طور که در شکل ۱۵ الف مشاهده می شود، در یک طرح بافت مشخص، مقاومت گرمایی با افزایش ظرافت نخ پود پرکننده افزایش می یابد. زیرا، به دنبال افزایش ظرافت نخ پرکننده تراکم پارچه افزایش می یابد که نتیجه آن کاهش تعداد منافذ باز در پارچه است. از این رو، پارچه نفوذپذیری هوا را ندارد که سبب افزایش مقاومت گرمایی در پارچه می شود. همچنین، در بررسی رابطه میان طرح بافت و مقاومت گرمایی با توجه به جدول ۴ و شکل ۱۵ ب مشاهده می شود، بیشترین و کمترین مقدار مقاومت گرمایی به ترتیب متعلق به طرح بافت های سرژه-سرژه و تافته-تافته است. طرح بافت سرژه-سرژه به دلیل داشتن ساختار متراکم تر و کاهش امکان جریان یابی هوا از یک سمت به سمت دیگر پارچه،



(الف)



شکل ۱۷- رابطه میان تراکم و ضخامت.



(ب)

شکل ۱۸- اثر: (الف) ظرافت نخ پود پرکننده و (ب) طرح بافت بر نفوذپذیری بخار آب.

برای عبور بخار آب از پارچه می‌شود. در طرح بافت سرزه-تافته

آزمون شد. نتایج آزمون‌ها در جدول ۵ و رابطه ظرافت نخ پود پرکننده و طرح بافت در شکل ۱۸ نشان داده شده است.

با توجه به جدول ۵ و شکل ۱۸ الف مشاهده می‌شود، با افزایش نمره نخ پود پرکننده نفوذپذیری بخار آب کاهش می‌یابد. زیرا، افزایش نمره متريک پود پرکننده به معنای افزایش ظرافت نخ است که به افزایش تراکم منجر می‌شود. اين موضوع، سبب کاهش تعداد منافذ و تخلخل پارچه می‌شود و درنتیجه مقدار بخار آب عبوری از پارچه کاهش می‌یابد. با توجه به جدول ۵ و شکل ۱۸ ب می‌توان تا حدودی اظهار کرد، پارچه‌های بهترین ترتیب با طرح بافت تافته-تافته، سرزه-تافته و سرزه-سرزه دارای بیشترین مقدار عبور بخار آب هستند. در يك ظرافت مشخص نخ پود پرکننده، علت نفوذپذیری بخار آب زياد طرح بافت تافته-تافته، كم بودن تراکم پودي پارچه و مقدار زياد خلل و فرج در پارچه است. در طرح بافت سرزه-سرزه، بهدليل وجود فلوقات‌های تاري و پودي بلند در ساختار بافت، امكان قرارگيری تعداد نخ بيشتری در طول پارچه وجود دارد که مانع

جدول ۵- نفوذپذیری بخار آب.

کد نمونه	طرح بافت	ظرافت نخ پود پرکننده (Nm)	نفوذپذیری بخار آب (g/m ² .day)
F1	تافته-تافته	24/2	2551
F2	سرزه-سرزه	24/2	2655
F3	سرزه-تافته	24/2	2249
F4	تافته-تافته	36/2	2507
F5	سرزه-سرزه	36/2	2262
F6	سرزه-تافته	36/2	2071
F7	تافته-تافته	48/2	2240
F8	سرزه-سرزه	48/2	2030
F9	سرزه-تافته	48/2	2058

مربوط به پارچه با طرح بافت‌های سرژه-سرژه، سرژه-تافته و تافته-تافته است. افزایش ضخامت پارچه به علت افزایش تراکم در طرح بافت‌های یادشده است، زیرا، تعداد نخ بیشتری در واحد طول پارچه قرار دارند و درواقع باعث فشردگی در ساختار بافت می‌شود. همچنین، با افزایش تراکم و ضخامت مقدار انرژی بیشتری برای فشردگی پارچه نیاز است.

- مقدار خاصیت گرماییقی نمونه‌ها با استفاده از دستگاه تاگ متربه دست آمد. این خاصیت از پارچه‌های سلایه با افزایش ظرافت نخ پود پرکننده حداقل به مقدار ۳۸٪ افزایش پیدا می‌کند. زیرا، تراکم پارچه افزایش می‌یابد که نتیجه آن کاهش تعداد منفذ باز در پارچه است، درنتیجه امکان جریان هوا و گرما وجود ندارد. با توجه به نتایج به دست آمده، پارچه با طرح بافت‌های سرژه-سرژه، سرژه-تافته و تافته-تافته به ترتیب دارای بیشترین مقدار خاصیت عایق گرمایی هستند. در بافت سرژه به دلیل وجود فلوت‌های بلند و ساختار پفكی امکان حبس هوا و جلوگیری از اتلاف گرمای پارچه به واسطه خاصیت عایق هوا وجود دارد.

- با افزایش ظرافت نخ پود پرکننده، قابلیت گذردگی بخار آب در پارچه‌های تولیدی دارای روند کاهشی با نسبت حداقل ۴٪ و حدакثر ۲۳٪ به ازای طرح بافت‌های مختلف است. زیرا، افزایش نمره پود پرکننده به افزایش تراکم منجر شده که این مسئله سبب کاهش تعداد مننفذ باز در پارچه می‌شود و درنتیجه مقدار بخار آب عبوری از پارچه کاهش پیدا می‌کند. به طور کلی، درباره رابطه موجود میان طرح بافت و نفوذپذیری بخار آب می‌توان گفت که به ترتیب پارچه‌های با طرح بافت تافته-تافته، سرژه-تافته و سرژه-سرژه دارای بیشترین نفوذپذیری بخار آب هستند. در طرح بافت تافته-تافته، به دلیل وجود تراکم کم و مقدار خلل و فرج زیاد در پارچه امکان عبور بخار آب بیشتری وجود دارد. در طرح بافت سرژه-سرژه به علت وجود فلوت‌های بلند تاری و پودی زیاد در ساختار پارچه و تراکم زیاد، پارچه به عنوان مانعی در برابر عبور بخار آب عمل می‌کند.

که پارچه از دو بافت یادشده ایجاد شده است، نفوذپذیری بخار آب آن در محدوده‌ای بین این دو بافت قرار می‌گیرد. تحلیل آماری نتایج نیز نشان داد که اثر طرح بافت و ظرافت نخ پود پرکننده بر نفوذپذیری بخار آب از پارچه‌های تولیدی معنادار است ($a=0.05$).

۴ نتیجه گیری

در این پژوهش، پارچه‌های تاریپودی با دو سامانه تاری و سه سامانه پودی تولید شده‌اند که یک دسته از نخ‌های پود نقش پرکننده را ایفا می‌کنند. این پژوهش به منظور بررسی اثر ظرافت نخ پود پرکننده و طرح بافت پارچه‌های رو و زیر بر خواص فیزیکی پارچه انجام شده است. نتایج به دست آمده از این پژوهش به شرح زیر است:

- حجم هوای عبوری از پارچه‌ها تحت فشارهای ۲۵ و 50 Pa اندازه‌گیری شده است. براساس نتایج به دست آمده، مقدار نفوذپذیری هوا با افزایش ظرافت نخ پود پرکننده به مقدار حدود ۴۰٪ کاهش می‌یابد. این کاهش، به دلیل افزایش تراکم پارچه‌ها و کاهش مننفذ در ساختار پارچه به دنبال افزایش ظرافت نخ پود پرکننده است. در بررسی اثر طرح بافت، بیشترین مقدار نفوذپذیری هوا مربوط به پارچه با طرح بافت تافته-تافته است که علت آن نبود فضای خالی برای حبس هوای عبوری بوده و کمترین مقدار متعلق به طرح بافت سرژه-سرژه است.

- در بررسی ضخامت، ضخامت نمونه‌ها در فشارهای $1500-200\text{ g/cm}^2$ اندازه‌گیری شدند. نتایج نشانگر روند افزایشی ضخامت و انرژی فشردگی به ترتیب به مقادیر حداقل ۱۳ و ۱۹٪ به دنبال افزایش ظرافت نخ پود پرکننده است. این روند را می‌توان به افزایش تراکم در پارچه‌های با نخ پود پرکننده ظرفیت نسبت داد. در بررسی ارتباط بین طرح بافت با ضخامت و انرژی فشردگی نتایج نشان می‌دهد، بیشترین ضخامت و انرژی فشردگی به ترتیب

مراجع

- [1] S. Sundaramoorthy, P.K. Nallampalayam, and S. Jayaraman, “Air permeability of multilayer woven fabric systems”, *J. Text. Inst.*, vol. 102, no. 3, pp. 189-202, 2011.
- [2] E.A. Elnashar, “Volume porosity and permeability in

double-layer woven fabrics”, *AUTEX Res. J.*, vol. 5, no. 4, pp. 207-218, 2005.

[3] P.G. Unal, G.O. Kayseri, and Z.E. Kanat, “The effect of different connections in double layered woven fabrics on comfort properties”, *Fiber. Polym.*, vol. 13,

- no. 2, pp. 258-263, 2012.
- [4] T.P. Rajan and S. Das, "Evaluation of air permeability behavior of warp knitted spacer fabrics", *Indian J. Fibre Text. Res.*, vol. 45, pp. 32-39, 2020.
- [5] S.T. Kumar, R.M. Kumar, and S.B. Kumar, "The effect of raw material combination, yarn count, fabric structure and loop length on the thermal properties of Eri silk bi-layer knitted fabrics", *Ind. Text.*, vol. 72, no. 3, 2021.
- [6] E.A. Elnashar, "The influence of the weave and the method of stitching on selected mechanical properties of woven double fabrics", *AUTEX Res. J.*, vol. 8, no. 2, pp. 41-43, 2008.
- [7] S. Yu, M. Dong, G. Jiang, and P. Ma, "Compressive characteristics of warp-knitted spacer fabrics with multi-layers", *Compos. Struct.*, vol. 256, pp. 113016, 2020.
- [8] A. Das, K. Shabardharan, and B. Biswas, "Study on heat and moisture vapour transmission characteristics through multilayered fabric ensembles", *AUTEX Res. J.*, vol. 36, no. 4, pp. 410-414, 2011.
- [9] R.F. Babus'Haq, M.A.A. Hiasat, and S.D. Probert, "Thermally insulating behavior of single and multiple layers of textiles under wind assault", *Appl. Energy*, vol. 54, no. 4, pp. 375-391, 1996.
- [10] K. Shabardharan and A. Das, "Analysis of thermal properties of multilayered fabrics by full factorial and taguchi method", *J. Text. Inst.*, vol. 105, no. 1, pp. 29-41, 2014.
- [11] E. Wilk, P. Swaczyna, E. Witczak, and M. Lao, "Studying the impact of multilayer fabric on the characteristic of temperature distribution under the influence of fire", *Text. Res. Inst.*, vol. 5, no. 15, pp. 92-103, 2021.
- [12] M. Yoneda, Y. Mizuno, and J. Yoneda, "Measurement of water absorption perpendicular to fabric plane in two-and multi-layered fabric systems", *Int. J. Cloth. Sci. Technol.*, vol. 6, no. 2/3, pp. 57-64, 1994.
- [13] J. Huang, "Review of heat and water vapor transfer through multilayer fabrics", *Text. Res. J.*, vol. 86, no. 3, pp. 1-12, 2016.
- [14] A.B. Biggi, W.L.F. Santos, and A.M.M.F. Rocha, "The effect of structural characteristics on thermal and moisture management properties of 3D fabrics designed for pressure relief applications", *J. Text. Sci. Eng.*, vol. 8, no. 2, 2018.
- [15] B. Yousefi, M.H. Varkiani, S. Saharkhiz, and Z.K. Toussi, "The effect of inner layer fiber diameter and fabric structure on transplanar water absorption and transfer of double-layered knitted fabrics", *Fiber. Polym.*, vol. 22, pp. 578-586, 2021.